

## بررسی ریزساختار آلیاژهای عملیات حرارتی شده $\text{Al}-\text{TiAl}-\text{Si}$ حاوی

سعید حشمتی منش

استادیار کروه مهندسی متالورژی - دانشکده فنی - دانشگاه تهران

(تاریخ دریافت: ۱۲/۶/۷۷ تاریخ تصویب: ۱۲/۲/۷۷)

### چکیده

در این مقاله ریزساختار آلیاژهای بر پایه  $\text{Al}-\text{TiAl}-\text{Si}$  که حاوی مقدار کمی  $\text{Si}$  باشند مطالعه شده و طبیعت فازهای گوناگون و نحوه توزیع آنها بعد از عملیات حرارتی مورد بررسی قرار گرفته‌اند. در اثر عملیات حرارتی در دماهای بالا بر روی این آلیاژها مکانیزمهایی از تغییر حالت در فاز « $\alpha_2 + \alpha_1$ »، منجر به تشکیل ریزساختارهایی از قبیل لایه‌ای ( $\alpha_2 + \alpha_1$ )، سوزنی ( $\alpha_1$ ) و توده‌ای ( $\alpha_2$ ) شود. روش‌های مختلف تجزیه فاز « $\alpha_2$ » بر حسب ترکیب آلیاژ و سرعت سرد شدن آن مورد بحث قرار گرفته‌اند. ملاحظه شده است که اضافه نمودن سیلیسیم به آلیاژ نقش مهمی را در این رابطه ایفا می‌نماید. بطوریکه حل شدن آن در محلول جامد «مانع وقوع واکنش شبیه یوتکتوییدی شده و انجام تغییر حالت توده‌ای را حتی در شرایط سرد کردن در هوای امکان‌پذیر می‌سازد.

**کلید واژه‌ها:** آلیاژهای بین فلزی ، تیتانیوم آلومینیم ، عملیات حرارتی ، ریزساختار ، سرعت تبرید ، تغییر حالت توده‌ای ، ساختار ویدمان اشتاتن ، ساختار لایه‌ای ، مرزهای ضدفاز ، تیتانیوم سیلیساید

### مقدمه

دیگری می‌توانند حاصل شوند. اضافه نمودن عنصر آلیاژی نیز بنوبه خود تجزیه فاز « $\alpha_2 + \alpha_1$ » را تحت تاثیر قرار می‌دهد. مثلاً نشان داده شده است که اضافه نمودن  $\text{Nb}$  به آلیاژ و سرد کردن سریع آن از ناخیه « $\alpha_2$ » می‌تواند به تشکیل ساختار مارتنتزیتی « $\alpha_1 + \alpha_2$ » منجر شود [۴]. سیلیسیم یک عنصر آلیاژی مهم در آلیاژهای تیتانیوم است. این عنصر عامل افزایش استحکام در محلول جامد است [۵]. در دماهای بالا افزایش سرعت سرد شدن در تجزیه فاز « $\alpha_2 + \alpha_1$ » را زمانیکه آلیاژ در دماهای بالاتر از خط تبدیل « $\alpha_2 + \alpha_1 \rightarrow \alpha_1$ » در سرعتهای سرد شدن شده باشد نشان داده‌اند [۶]. در سرعتهای سرد شدن نسبتاً آهسته، نظیر سرد شدن درون کوره، فاز « $\alpha_2$ » از طریق یک واکنش شبیه یوتکتویید تجزیه شده و ساختار کلاسیک لایه‌ای تشکیل می‌شود. در سرعتهای بالای سرد شدن واکنش تجزیه « $\alpha_2 + \alpha_1 \rightarrow \alpha_1$ » متوقف شده و به جای آن یک تغییر حالت مستقیم از « $\alpha_2 + \alpha_1 \rightarrow \alpha_1$ » به « $\alpha_1$ » رخ می‌دهد. پیشنهاد شده است که این نوع تغییر حالت یک تغییر حالت توده‌ای است [۷]. در سرعتهای متوسط سرد شدن، ریزساختارهای

آلیاژهای بر پایه  $\text{Al}-\text{Si}$  به دلیل دانسیته کم، نقطه ذوب بالا، استحکام زیاد در دماهای بالا، مقاوم بودن در برابر اکسایش و جذب هیدروژن و خواص خرزشی عالی، پتانسیل بسیار خوبی برای تبدیل شدن به یکی از مهمترین مواد مورد استفاده در صنعت هواپضا دارند. مطالعات انجام شده بر روی تغییر حالت آلیاژهای دوتایی  $\alpha_2 + \alpha_1$ ، اثر قابل توجه سرعت سرد شدن بر تجزیه فاز « $\alpha_2 + \alpha_1 \rightarrow \alpha_1$ » را زمانیکه آلیاژ در دماهای بالاتر از خط تبدیل « $\alpha_2 + \alpha_1 \rightarrow \alpha_1$ » در سرعتهای سرد شدن شده باشد نشان داده‌اند [۸]. در سرعتهای سرد شدن نسبتاً آهسته، نظیر سرد شدن درون کوره، فاز « $\alpha_2$ » از طریق یک واکنش شبیه یوتکتویید تجزیه شده و ساختار کلاسیک لایه‌ای تشکیل می‌شود. در سرعتهای بالای سرد شدن واکنش تجزیه « $\alpha_2 + \alpha_1 \rightarrow \alpha_1$ » متوقف شده و به جای آن یک تغییر حالت مستقیم از « $\alpha_2 + \alpha_1 \rightarrow \alpha_1$ » به « $\alpha_1$ » رخ می‌دهد. پیشنهاد شده است که این نوع تغییر حالت یک تغییر حالت توده‌ای است [۹]. در سرعتهای متوسط سرد شدن، ریزساختارهای

زورق M0 پیچیده شده و در لوله‌های کوارتز قرار داده شدند. لوله‌ها بعد از خلاء نمودن، با گاز آرگون پرشده و بسته شدند. هر نمونه داخل لوله در یک کوره لوله‌ای قائم بمدت دو ساعت در دمای مورد نظر عملیات حرارتی شده و سپس با سرعت مناسب سرد شد. دماهای عملیات حرارتی و نحوه سرد کردن نمونه‌ها در جدول ۲ خلاصه شده است.

برای مطالعه ریزساختارها از میکروسکوپ نوری مجهز به نور پلاریزه، میکروسکوپ الکترونی روشنی (SEM) و عبوری (TEM) استفاده شد.

جدول ۲: نحوه عملیات حرارتی نمونه‌ها.

نمونه	دمای عملیات حرارتی و نحوه سرد کردن				
	۱۱۸۰ °C	۱۲۲۰ °C	۱۲۵۰ °C	۱۲۶۵ °C	۱۴۰۰ °C
A1	W.Q. <sup>۱</sup>	W.Q.	W.Q.	—	—
A2	W.Q.	W.Q.	W.Q.	I.W.Q. <sup>۲</sup> ,	—
A3	W.Q.	W.Q.	—	—	I.W.Q., W.Q., A.C. <sup>۳</sup>

W.Q. = سرد کردن در آب

I.W.Q. = سرد کردن در آب یخ

A.C. = سرد کردن در هوا

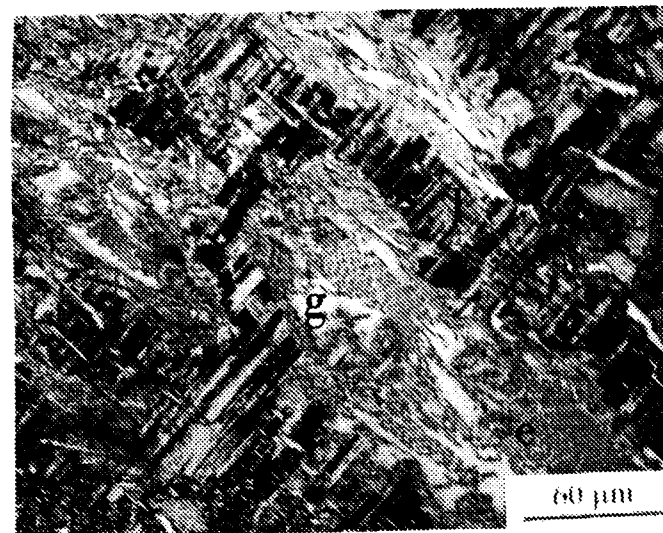
می‌باشد مطالعه شده و ریزساختارهای ملاحظه شده در این آلیاژها بر حسب ترکیب آلیاژ و شرایط عملیات حرارتی مورد بررسی قرار می‌گیرند.

### روش تحقیق

نمونه‌هایی از آلیاژهای سه تایی بوزن ۲۰ گرم با ذوب کردن عناصر خالص در یک کوره قوسی و برروی صفحه مسی آبگرد آن و در محیط گاز آرگون و با استفاده از الکترود تنگستن تهیه شدند. در ضمن ذوب کردن، آلیاژها در حدود دو دقیقه بصورت مذاب نگهداشته شدند و بعد از سرد شدن برگردانده شده و مجدداً ذوب شدند. بمنظور اطمینان از همگن شدن هر نمونه، این عمل سه بار تکرار شد. ترکیبات آلیاژهایی که در این تحقیق تهیه شدند و با A1-A3 مشخص شده‌اند در جدول ۱ آمده است.

جدول ۱: ترکیب شیمیایی آلیاژهای تهیه شده (at. %).

	A1	A2	A3
Ti	۵۰/۱۸	۵۱/۴۸	۵۱/۴۷
Al	۴۶/۳۲	۴۷/۵۲	۴۸/۰۳
Si	۲/۵	۱	۰/۵



شکل ۱: تصویر میکروسکوپ نوری از آلیاژ A1 در شرایط ریختگی.

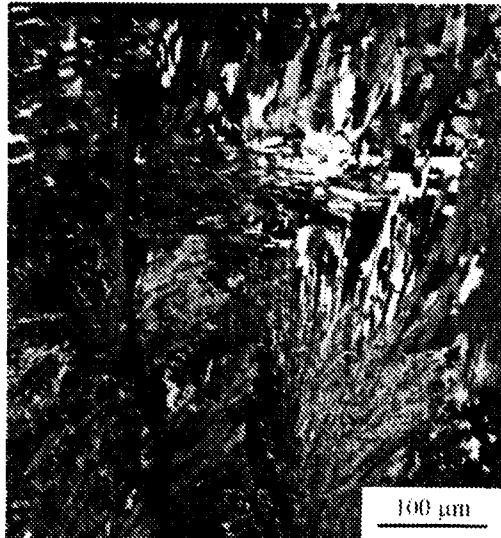
۱ = ساختار لایه‌ای      ۲ = فاز ۲      ۳ = ساختار یوتکنیک.

نتایج

۱ - ریزساختارها در حالت ریخته شده ریزساختار آلیاژها در حالت ریخته شده متشکل از ساختارهای لایه‌ای ( $\alpha_2 + \alpha_1$ ) و فاز ۲ همراه با سیلیسایدهای یوتکنیکی است (شکل ۱). ریزساختار نمونه A1 مورفولوژی‌های گوناگونی از ساختارهای یوتکنیکی را نشان می‌دهد که در مراحل مختلف انجماد تشکیل شده‌اند. ساختار لایه‌ای از تجزیه فاز  $\alpha$  در حین سرد شدن قطعه بعد از انجماد آن حاصل می‌شود. در نمونه‌های با مقادیر Si کمتر (A2 و A3) و (A1) کسر حجمی پایین تری از ساختار یوتکنیکی حاصل می‌شود. تفسیر واکنشهای انجماد که منجر به تشکیل این ریزساختارها می‌شوند

برای انجام عملیات حرارتی، نمونه‌ها یک به یک در

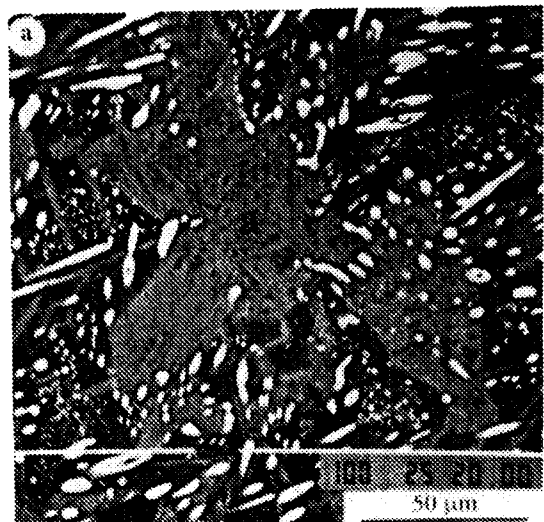
در دماهای متوسط همگن شدند متعاقباً در آب یخ سرد شدند و نمونه های دسته دوم با سرعتهای مختلف سرد شدند. عملیات حرارتی در دماهای متوسط ( $1180-1330^{\circ}\text{C}$ ) بدون آنکه موجب تغییری اساسی در ریزساختار حالت ریختگی شود سبب کروی شدن ذرات سیلیساید شد. اما در نمونه هایی که در دماهای بالا عملیات حرارتی شدند ریزساختارهای ویژه ای مشاهده شدند که توضیح آنها در ذیل ارائه می شود. ذکر این نکته ضروری است که تجزیه شیمیایی نقطه ای با استفاده از EDX مشخص نموده است که حلالیت سیلیسیم در فاز « $\alpha$ » در همسایگی ترکیب Ti-48Al و در محدوده دمایی موردنظر ما همواره کمتر از  $5\%$  درصد اتمی است [11]. لذا با توجه به این که مطالعه تجزیه فاز « $\alpha$ » در شرایط گوناگون سرد کردن مدنظر می باشد، می توان انتظار داشت که در نمونه های حاوی مقادیر متفاوت سیلیسیم ( $5\%$  درصد اتمی و بالاتر)، در صورت انجام عملیات حرارتی یکسان، تغییر حالت های مشابهی در فاز « $\alpha$ » رخ دهد.



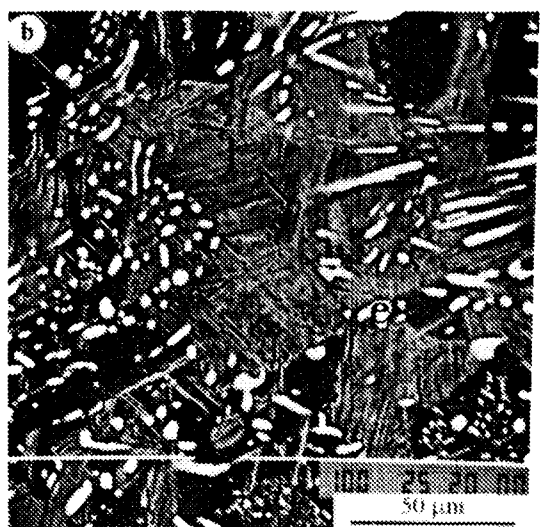
شکل ۲: تصویر میکروسکوپی با نور پلازیزه از آلیاژ A2 که در  $1350^{\circ}\text{C}$  به مدت دو ساعت عملیات حرارتی شده و در آب سرد شده است؛ ساختار سوزنی.

۲-۱ - عملیات حرارتی در دماهای بالا نمونه هایی از آلیاژهای A1 و A2، به مدت دو ساعت در  $1350^{\circ}\text{C}$  حرارت داده شده و سپس در آب سرعت سرد شدند. تصویری از ریزساختارهای حاصل در شکلهای ۲

با استفاده از نمای تصویر شده سطوح لیکیدوس سیستم سه تایی Ti-Al-Si در مقالات دیگری ارائه شده است [9 و 10].



a = ساختار سوزنی در یک زمینه  $\beta$



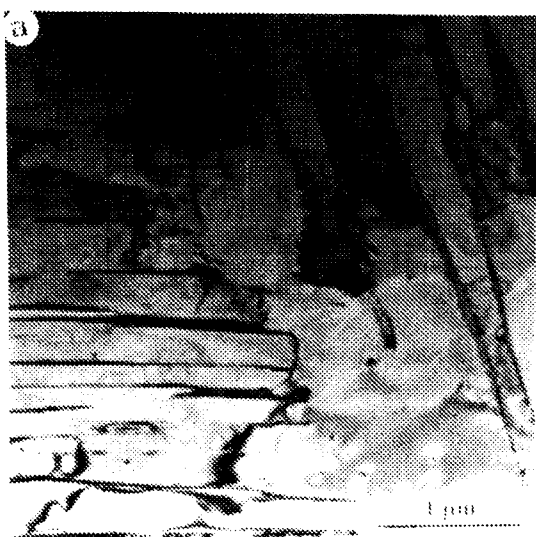
b = ساختارهای لایه ای و ویدمان اشتاتن.

شکل ۲: تصاویر الکترون برگشتی BEI از آلیاژ A1 که در  $1350^{\circ}\text{C}$  به مدت دو ساعت عملیات حرارتی شده و در آب سرد شده است.

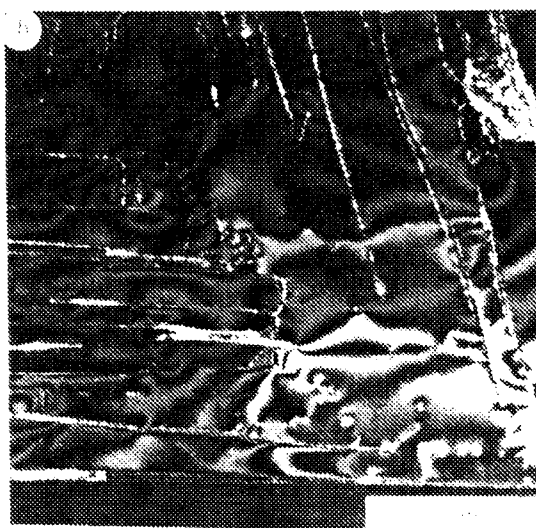
۱ = ساختار لایه ای  $\beta$  = فاز  $\beta$  ۲ = سیلیساید های یوتکنیکی.

۲ - ریزساختارها بعد از عملیات حرارتی عملیات حرارتی در دو محدوده دمایی انجام شد:

- (۱) محدوده دمایی متوسط ( $1180-1330^{\circ}\text{C}$ )؛ و
- (۲) محدوده دمایی بالا ( $1350^{\circ}\text{C}$  و بالاتر). نمونه هایی که



a = تصویر با زمینه روشن .

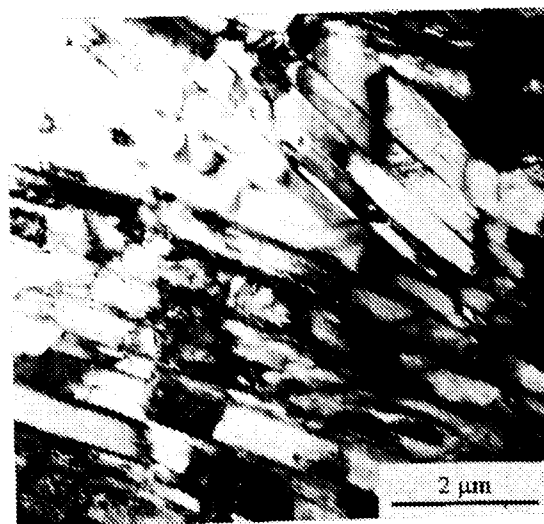
b = تصویر با زمینه تاریک که با استفاده از انعکاس صفحه (2020) فاز  $\alpha_2$  بدست آمده است.

شکل ۵: تصویر TEM از آلیاژ A1 که در ۱۳۵۰ °C به مدت دو ساعت عملیات حرارتی شده و در آب سرد شده است.

گفت که کلنجی های مذکور در حقیقت از یک دانه  $\alpha$  حاصل شده اند.

نمونه هایی از آلیاژ A2 به مدت دو ساعت در ۱۳۶۵ °C همگن شده و سپس در آب یخ و یا هوا سرد شدند. ریزساختار نمونه سرد شده در آب یخ (شکل ۶) کسر حجمی بالایی از فاز  $\beta$  را همراه با ساختار سوزنی نشان

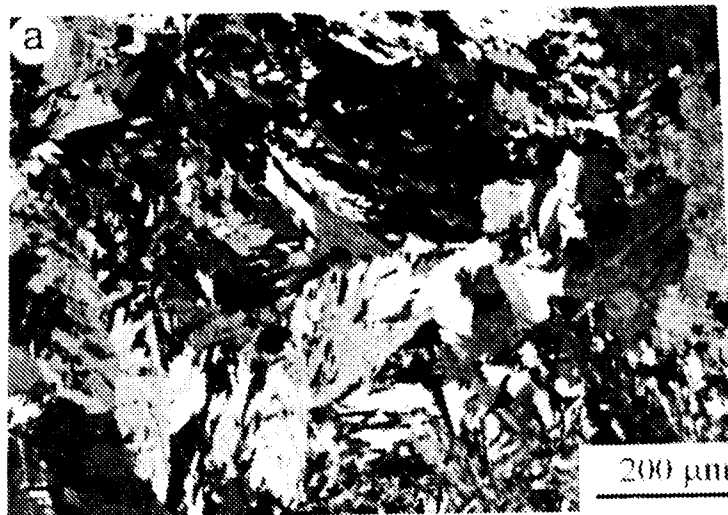
و ۳ دیده می شوند. در این نمونه ها ریزساختارهای متتشکل از فاز  $\beta$  ساختار لایه ای ( $\gamma + \alpha_2$ )، ساختار سوزنی و ساختار ویدمان اشتاتن وجود دارد. مورفولوژی های گوناگون این ریزساختارها نشان می دهند که در اثر عملیات حرارتی در ناحیه سه فازی  $\alpha + \gamma + \text{Ti}_5(\text{Si}, \text{Al})_3$  در سیستم سه تایی Ti-Al-Si و سرد کردن سریع بعدی ، فاز  $\alpha$  با مکانیزم های مختلفی تغییر حالت یافته است. در تصویر الکترونی برگشته BEI (شکل ۲a) ناحیه سوزنی کنتراست متفاوتی را با ناحیه تاریک اطراف خود (فاز  $\beta$ ) نشان می دهد که مشخص کننده تفاوت ترکیب شیمیایی بین آنهاست و در حقیقت دندربیت های فاز  $\alpha$  که در مراحل اولیه انجامداد تشکیل شده اند در اثر سرد کردن سریع به ساختار سوزنی تبدیل شده اند. تصویر روشن تری از ساختار سوزنی که توسط TEM بدست آمده در شکل ۴ نشان داده شده است و الگوی تفرق بدست آمده از آن نشان می دهد که تیغه ها از فاز  $\beta$  هستند و زاویه کوچکی در حدود ۲-۱۰ درجه با یکدیگر دارند [۱۱]. همچنین تصویر TEM از قسمتی از نمونه که دارای ریزساختار ویدمان اشتاتن است نشان می دهد که کلنجی هایی از لایه ها با جهات مختلف در این نواحی وجود دارند. تصویر با زمینه تاریک از این کلنجی ها (شکل ۵) نشان می دهد که جهت فاز  $\alpha_2$  در دو کلنجی مجاور یکی است. به عبارت دیگر می توان



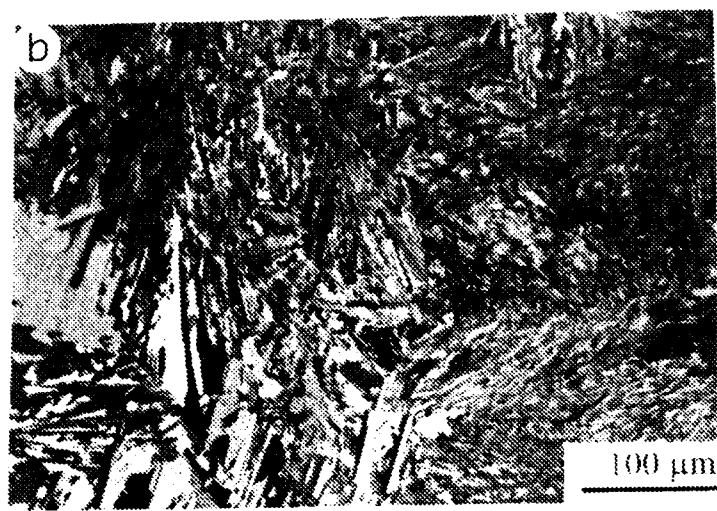
شکل ۴: تصویر TEM از آلیاژ A2 که در ۱۳۵۰ °C به مدت دو ساعت عملیات حرارتی شده و در آب سرد شده است؛ تصویر با زمینه روشن از ساختار سوزنی .

فاز تودهای  $\gamma$ ) رخ داده است. فصل مشترک فاز  $\gamma_m$  با اطرافش غالباً کنگره دار است. از طرف دیگر، نمونه سرد شده در هوا (شکل ۷) ساختار لایه‌ای را همراه با کسر حجمی بالایی از ساختار سوزنی نشان می‌دهد. تشکیل ساختار ویدمان اشتاتن در این نمونه ملاحظه می‌شود.

می‌دهد. همچنین مقدار کمی از ساختار لایه‌ای در این نمونه وجود دارد. بنابراین فاز  $\alpha$  عمدتاً به  $\gamma$  تبدیل شده و فقط کسر کوچکی از آن ایجاد ساختار لایه‌ای نموده است. کسر حجمی بالای فاز  $\gamma$  که در این شرایط تشکیل شده، پیشنهاد می‌کند که احتمالاً واکنش مستقیم  $\gamma_m \rightarrow \alpha$  یا



$a =$  زمینه در این تصویر عمدتاً متشکل از فاز  $\gamma$  است.

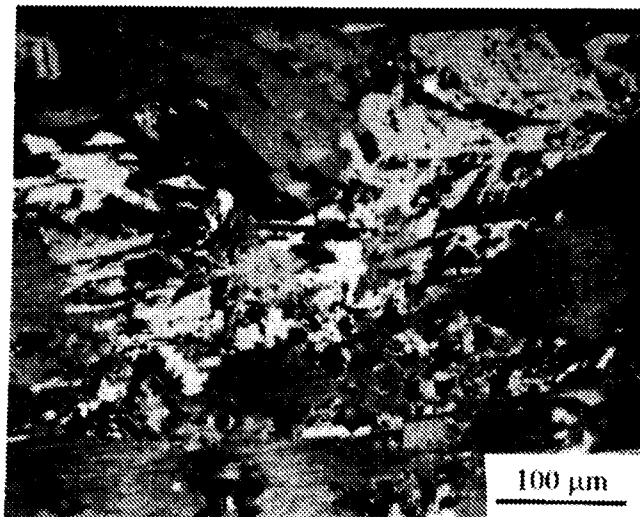


$b =$  ساختار سوزنی

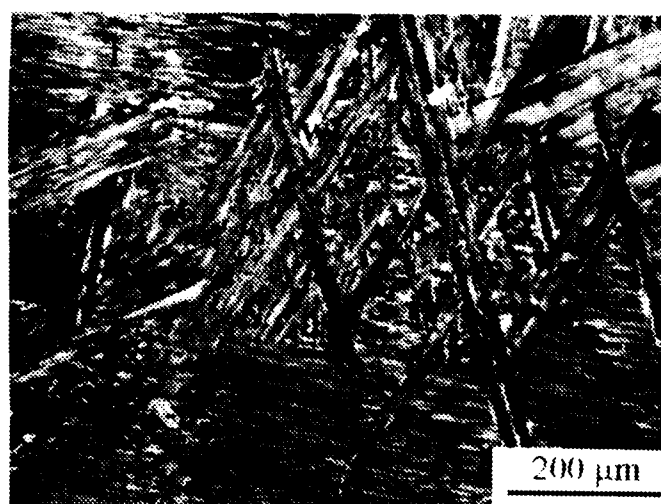
شکل ۶: تصاویر میکروسکوپی با نور پلاریزه از آلیاژ A2 که در  $1365^{\circ}\text{C}$  به مدت دو ساعت عملیات حرارتی شده و در آب یخ سرد شده است.

منطقه  $\gamma_m$  (شکل ۹) نشان می‌دهد که مرزهای ضد فاز همراه با ناقص در چیده شدن در این فاز موجودند. نمونه سرد شده در آب یخ کسر حجمی بالاتری از فاز  $\gamma$  را در مقایسه با نمونه سرد شده در آب بدست داد. ریزساختار نمونه سرد شده در آب (شکل ۸) کسر حجمی بالایی از فاز  $\gamma_m$  را همراه با ساختار لایه‌ای و مقدار کمی از ساختار سوزنی نشان می‌دهد. تصاویر TEM از

نمونه هایی از آلیاژ A3 بمدت دو ساعت در  $1400^{\circ}\text{C}$  همگن شده و سپس در آب یخ، آب و یا هوا سرد شدند. ریزساختار نمونه سرد شده در آب (شکل ۸) کسر حجمی بالایی از فاز  $\gamma_m$  را همراه با ساختار لایه‌ای و مقدار کمی از ساختار سوزنی نشان می‌دهد. تصاویر TEM از



شکل ۸: تصویر میکروسکوپی با نور پلاریزه از آلیاژ A3 که در  $1400^{\circ}\text{C}$  به مدت دو ساعت عملیات حرارتی شده و در آب سرد شده است؛ کسر حجمی بالایی از فاز  $\gamma_m$  همراه با ساختار لایه‌ای (1) ملاحظه می‌شود.



شکل ۷: تصویر میکروسکوپی با نور پلاریزه از آلیاژ A2 که در  $1365^{\circ}\text{C}$  به مدت دو ساعت عملیات حرارتی شده و در هوا سرد شده است. ساختار سوزنی (a) و ویدمان اشتاتن (W) در میان یک دانه بزرگ لایه‌ای (1).



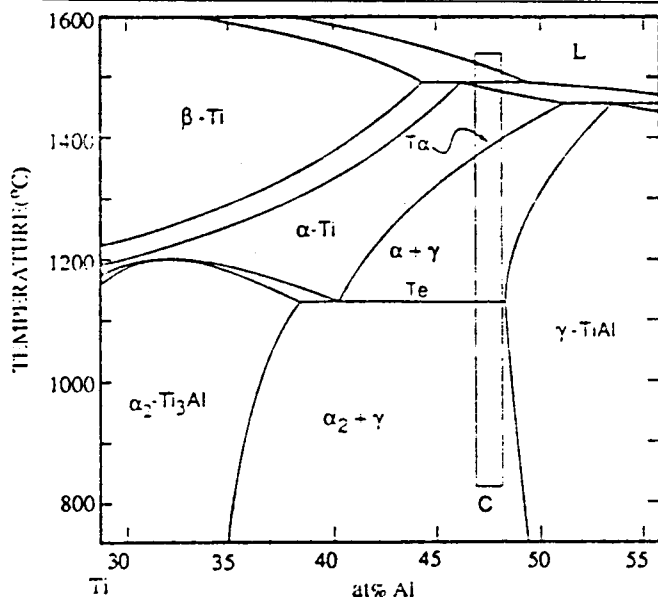
شکل ۹: تصویر TEM از آلیاژ A3 که در در  $1400^{\circ}\text{C}$  به مدت دو ساعت عملیات حرارتی شده و در آب سرد شده است؛ تصویر با زمینه تاریک از فاز  $\gamma_m$

ریزساختارهایی که بعد از عملیات حرارتی در دمای بالا در این تحقیق بدست آمد می‌تواند با بررسی نمودار دوتایی Al-Ti (شکل ۱۱) توضیح داده شود. همانطور که در این نمودار ملاحظه می‌شود، شیب متوسط ناحیه  $\alpha + \gamma$  تقریباً بموازات محور دما است و بنابراین می‌توان انتظار داشت که تشکیل  $\gamma$  تعادلی شدیداً در رقابت با واکنش توده‌ای

موجود در تشکیل ساختارهای گوناگون از فاز مادر « است. در این نمونه ساختارهای لایه‌ای و سوزنی شکل همراه با فاز  $\gamma$  ملاحظه می‌شوند. کتراستهای موجود در فاز  $\gamma$  حاکی از وجود نواحی<sup>(۱)</sup> مختلف در این فاز است. وجود نواحی و مرزهای ضد فاز در  $\gamma$  توسط TEM نیز تأیید و قوع واکنش  $\gamma_m \rightarrow \alpha$  در شرایط سرد نمودن در هوا به ثبوت رسید [۱۱]. در میان ساختار سوزنی گاهی نوارهایی از فاز  $\beta$  به موازات هم تشکیل شده‌اند، شکل ۱۰c، و باز هم کتراست موجود در آنها حاکی از وجود نواحی در این نوارهایی است. وجود نوارها نشان‌دهنده تشکیل ابتدایی آنها در فاز  $\alpha$  و تبدیل مابقی فاز  $\alpha$  به ساختار سوزنی است.

## بحث

طیعت تغییر حالت توده‌ای در آلیاژ دوتایی Ti-Al مقالات دیگری مورد بررسی قرار گرفته است [۱۲ و ۱۳]. وجود نواحی ضد فاز در محصول این استحاله بعنوان یک شاهد قوی جهت انجام واکنش توده‌ای  $\alpha \rightarrow \gamma$  تلقی شده است. لازم به ذکر است نواحی ضد فاز در  $\gamma$  تعادلی دیده نشده است و عموماً نظر بر این است که  $\gamma$  مستقیماً از مذاب تشکیل شده و بنابراین هر دانه متشکل از یک ناحیه است.

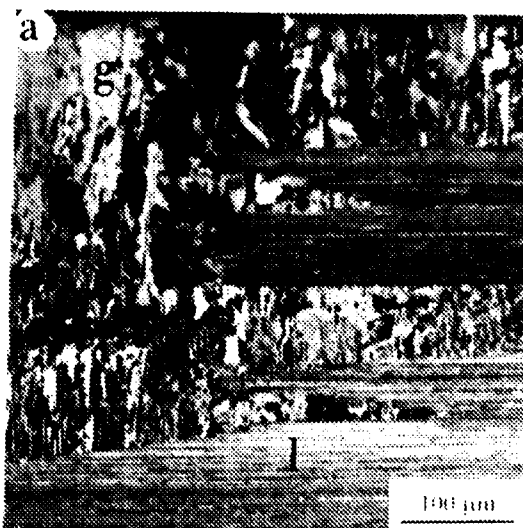


شکل ۱۱: بخشی از نمودار دوتایی [۱۴] Ti-Al.

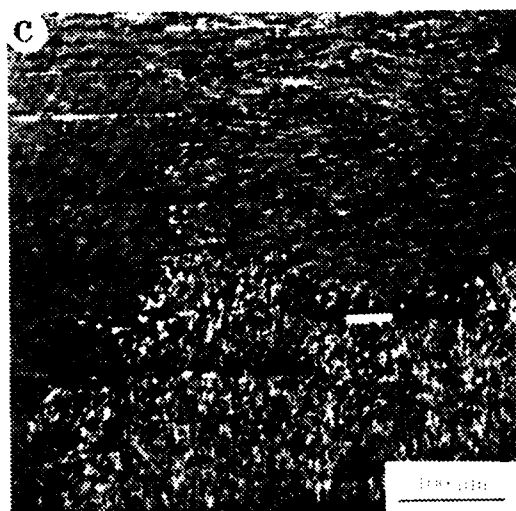
مطالعه ریزساختار نمونه های ریخته گری و عملیات حرارتی شده نشان می دهد که در زیر  $1330^{\circ}\text{C}$  زمینه ای از ساختار لایه ای، ع تعادلی و سیلیساید های یوتکنیکی بdst می آید در حالیکه بعد از عملیات حرارتی در بالای  $1350^{\circ}\text{C}$  مورفولوژی های دیگری نیز ظهر  $\gamma$  حاوی ناقص شبکه ای خاص،  $\gamma$  سوزنی و ساختار ویدمان اشتاتن قابل حصول می باشند. این تفاوت در ریزساختار در اثر تغییر دمای عملیات حرارتی از  $1330^{\circ}\text{C}$  به  $1350^{\circ}\text{C}$  پیشنهاد می کند که صفحه  $T_0$ ، یعنی مکان هندسی نقاطی که در آن انرژی آزاد فازهای  $\alpha$  و  $\gamma$  باهم مساویند، در ناحیه سه فازی  $\text{Ti}_5(\text{Si},\text{Al})_3 + \gamma + \alpha$  از نمودار سه تایی  $\text{Ti}-\text{Al}-\text{Si}$  باید در فاصله این محدوده دما قرار داشته باشد. کلیه اعمال حرارتی روی نمونه های A1 و A2 در ناحیه سه فازی  $\text{Ti}_5(\text{Si},\text{Al})_3 + \gamma + \alpha$  انجام شده است. دمای عملیات حرارتی نمونه های A2 و A3 کاملاً بالای صفحه  $T_0$  بوده و برای نمونه A1 درست در بالای صفحه مذکور بوده است. ساختار نمونه A3 در دمای  $1400^{\circ}\text{C}$  (درست در بالای خط تبدیل  $\alpha$ ) متشكل از فاز  $\alpha$  و سیلیساید های یوتکنیکی می باشد.

همانطور که قبل ذکر شد ریزساختار نمونه A3 که در  $1400^{\circ}\text{C}$  عملیات حرارتی شده و در آب تبرید شده است عمدهاً متشكل از فاز  $\gamma$  است که در آن ناقصی چون مرزهای ضد فاز و نقص در چیده شدن و دوقلوهای

$\rightarrow \alpha$  باشد. لازم به ذکر است که مقاطع کامل سیستم سه تایی  $\text{Ti}-\text{Al}-\text{Si}$  تاکنون بدست نیامده است اما بررسی های اولیه نشان داده اند که افزایش مقادیر نسبتاً کم سیلیسیم به آلیاژهای دوتایی  $\text{Ti}-\text{Al}$  سبب افزوده شدن فاز  $\text{Si}_{15}(\text{Si},\text{Al})_3$  به هریک از مناطق فازی در نمودار شکل ۱۱ می گردد [۱۱]. مضافاً اینکه افزودن سیلیسیم سبب انتقال خطوط تبدیل فازهای  $\alpha$  و  $\gamma$  بطرف دماهای پایین تر می شود [۱۱].



$\gamma_m = \alpha$  در مجاورت ساختار لایه ای (۱). تغییر در کنتراست در دانه ها یا تیغه های  $\gamma$  بدلیل وجود نواحی (domains) مختلف در آنهاست.



C = لایه های  $\gamma_m$  به موازات یکدیگر در میان ساختار سوزنی. شکل ۱۰: تصاویر میکروسکوپی با نور پلاریزه از آلیاژ A3 که در  $1400^{\circ}\text{C}$  به مدت دو ساعت عملیات حرارتی شده و در هوای سرد شده است.

نیمه همدوس رشد می کند. در شکل ۱۰<sub>m</sub> با مکانیزمی که توضیح داده شد بصورت نوارهای ضخیم موازی هم در فاز « $\alpha$ » تشکیل شده و بقیه فاز « $\alpha$ » به ساختار سوزنی تبدیل شده است.

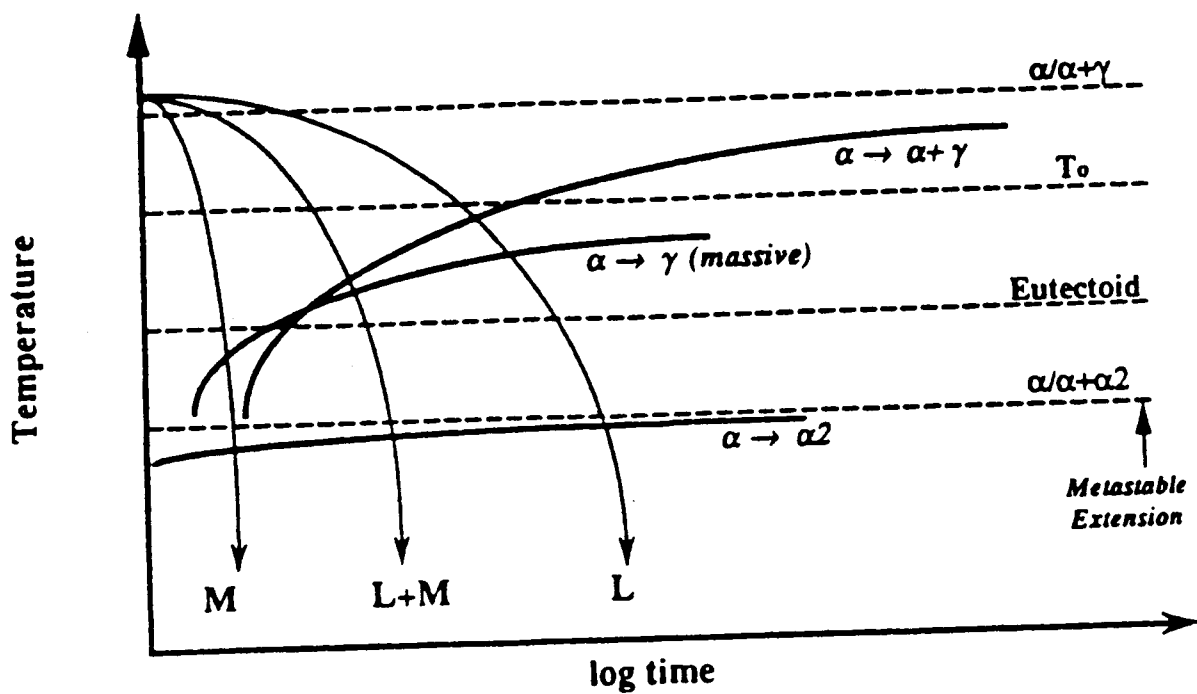
ساختار سوزنی، محصول دیگری از تجزیه فاز « $\alpha$ » است که ظاهرآ اجزاء سازنده آن (تیغه های باریک) رابطه جهتی خاصی با فاز مادر ندارند. این ساختار یک مورفولوژی تخریب شده از ساختار لایه ای است که تشکیل آن احتمالاً مربوط به کندی تغییر حالت عادی فاز « $\alpha$ » و تبدیل شدن آن به ساختار لایه ای است. در حقیقت در دماهای پایین نیروی محرکه کافی جهت شاخه ای شدن فاز  $\alpha$  و رشد آن با فصل مشترکی غیر مسطح که ظاهرآ رابطه جهتی نیز با فاز مادر « $\alpha$ » ندارند، وجود دارد.

از مجموعه نتایج بالا می توان منحنی های CCT را برای یک آلیاژ سه تایی بصورت شماتیک رسم نمود (شکل ۱۲). همانطور که در این شکل ملاحظه می شود در سرعتهای بالای سرد شدن فاز « $\alpha$ » مستقیماً به  $\alpha \rightarrow \alpha + \alpha_2$  تبدیل می شود. باقیمانده فاز « $\alpha$ » در زیر خط  $\alpha / \alpha + \alpha_2$  به  $\alpha \rightarrow \alpha$  تبدیل می شود.

ساختاری که شبیه ساختار ویدمان اشتاتن است نیز مورفولوژی دیگری از ساختار لایه ای کلاسیک است. در

میکروسکوپی موجود بودند و این شواهد انجام قطعی واکنش مستقیم  $\gamma_m \rightarrow \alpha$  را تائید می نماید. مطالعه ریز ساختار نمونه A3 که در ۱۴۰۰°C در سرد شده نشان می دهد که تغییر حالت توده ای  $\gamma_m \rightarrow \alpha$  نه تنها در شرایط تبرید سریع بلکه در سرد کردن در هوای نیز رخ می دهد. قابل توجه این که واکنش مشابه در اثر سرد کردن در هوای آلیاژ های دوتایی Ti-Al<sup>2</sup> گزارش نشده است و انجام این واکنش در سیستم سه تایی Ti-Al-Si را می توان به حضور سیلیسیم حل شده در فاز مادر « $\alpha$ » نسبت داد. در حقیقت وجود سیلیسیم در محلول جامد « $\alpha$ » تجزیه این فاز بصورت عادی و تبدیل آن به ساختار لایه ای را به تأخیر می اندازد و فوق تبرید کافی جهت واکنش توده ای  $\gamma_m \rightarrow \alpha$  مهیا می سازد. البته فوق تبرید موردنیاز جهت انجام این واکنش برای نمونه A1 که درست در بالای صفحه  $T_0$  عملیات حرارتی شده تامین نگردیده و لذا  $\alpha$  توده ای در این نمونه مشاهده نمی شود. در این شرایط سایر روش های تغییر حالت نیز شدیداً رقابت می کنند.

جالب توجه اینکه  $\gamma_m$  در این آلیاژ ها هم درون فاز مادر و هم در مرزدانه ها تشکیل می شود. تشکیل  $\gamma_m$  در درون فاز « $\alpha$ » بدین صورت است که این فاز ابتدا روی ناقص چیده شدن جوانه زنی نموده و با یک فصل مشترک همدوس یا



شکل ۱۲: نمودار CCT شماتیک برای یک آلیاژ سه تایی Ti-48Al+xSi که نشان دهنده چگونگی تجزیه فاز « $\alpha$ » می باشد.

و  $L$  (توده ای)  $L$  (لاملار)  $M$  (لایه ای)

در سیستم سه تایی Ti-Al-Si از تشکیل ساختار کلاسیک لایه‌ای جلوگیری نموده و تغییر حالت توده‌ای را سبب می‌شود. در نتیجه این تغییر حالت کسر حجمی بالایی از فاز عاز واکنش مستقیم  $\gamma_m \rightarrow \alpha$  حاصل می‌شود. سیلیسیم حل شده در محلول جامد «» وقوع واکنش شبه یوتکنیدی را مانع شده و انجام تغییر حالت توده‌ای را حتی در شرایط سرد کردن در هوا امکان‌پذیر می‌سازد. البته در سرعت‌های پایین تر سرد کردن مکانیزم‌های تغییر حالت دیگری روابط نموده و ساختار سوزنی حاصل می‌شود. همچنین در سرعت‌های پایین تر بتریب ساختارهای ویدمان اشتاتن و بالاخره ساختار لایه‌ای کلاسیک تشکیل می‌شوند.

این مورفولوژی کلندی‌های نسبتاً بزرگی از ساختار لایه‌ای که بیش از یک صفحه نهادی دارند در میان یک تک دانه  $\alpha$  مشاهده می‌شوند. در ساختار لایه‌ای کلاسیک، فاز  $\gamma$  برروی صفحه قاعده هگزاگونال فاز  $\alpha$  تشکیل می‌شود. اما اگر فوق تبرید کافی فراهم شود فاز  $\gamma$  می‌تواند در روی صفحاتی غیر از صفحه قاعده هگزاگونال نیز رسوب نماید. این مطلب با عنایت به تصویر زمینه تاریک TEM که در آن دوکلندی مجاور هم که از یک تک دانه  $\alpha$  حاصل شده‌اند آشکار می‌گردد.

نتیجه گیری  
تبرید ناگهای و سریع فاز  $\alpha$  از دماهای بالای صفحه  $T_0$

## مراجع

- 1 - Kim, Y. W. (1992). *Acta Met.*, 40, 1121.
- 2 - Jones, S. A., and Kaufman, M. J. (1993). *Acta Met.*, 41, 387.
- 3 - Viswanathan, Wang, p., and Vasudevan, V. K. (1992). *Metall Trans. A*, 23A, 690.
- 4 - Li, Y. G, and Loretto, M. H. (1994). *Acta Met.*, 42, 2009.
- 5 - Antony, K. C. (1968). *Trans. A.I.M.E.*, 1454.
- 6 - Paton, N. E., and Mahoney, M. W. (1685). *Metall. Trans. A* 74, 1975.
- 7 - Kasahara, K., Hashimoto, K., Doi, H., and Tsujimoto, T. (1987). "Collected abstracts of the 1987 Autumn meeting of Jpn. Inst. Met.", *JIM.*, Sendai, 313.
- 8 - Es-Souni, M., Beaven, P. A., Wanger, R., Chen, C., Bartles, A., and Seeger, F. (1991). "Euromat 91." *The 2nd European Conference on Advanced Materials and Processes*, Univ. Cambridge, UK, 226.
- 9 - Heshmai-Manesh, S., and Flower, H. M. (1994). *Mat. Sci. and Tech.*, 10, 674.
- 10 - Johnson, G., Inui, H., and Yamaguchi, M. (1996). *Acta Met.*, 44, 2523.
- 11 - Heshmai-Manesh, S. (1995). "PhD Thesis, University of London."
- 12 - Wang, P., Viswanathan, G. B., and Vasudevan, V. K. (1992). *Metall. Trans., A*, 23 A, 690.
- 13 - Jones, S. A., and Kaufman, M. J. (1993). *Acta Met.*, 41, 387.
- 14 - Kim, Y. M. (1991). "High temperature ordered intermetallic alloys IVed." J. O. Stiegler, L. A. Johnson and D. P. Pope, (MRS, Pittsburgh, PA), 63.

## واژه‌نامه

1 - Acicular	سوزنی
2 - Massive	توده‌ای
3 - Domains	نواحی

